

А.Ю.Гринько, Д.Н.Тогобицкая

## ПРОГНОЗИРОВАНИЕ ТЕРМОДИНАМИЧЕСКИХ СВОЙСТВ РАСПЛАВОВ ПРИ ВЫПЛАВКЕ ЧУГУНА

Впервые получены удовлетворительные результаты при переносе моделей для прогнозирования термодинамических свойств элементов с трехкомпонентных систем на многокомпонентные. Разработана модель определения численного значения коэффициента активности серы и кремния в чугуна. Уточнена модель для вычисления равновесного коэффициента распределения серы между чугуном и шлаком.

### Современное состояние вопроса.

Коэффициенты распределения элементов являются основными термодинамическими параметрами, определяющими эффективность и степень завершенности ионообменных процессов в системе «металл–шлак». Поскольку термодинамические характеристики, позволяющие количественно описать процесс, применимы лишь в случае равновесных процессов, особенно актуальной является проблема равновесия и оценка степени ее достижения при определении возможных областей применения термодинамики для количественной характеристики реальных процессов.

Изучение равновесного распределения любого компонента между металлом и шлаком обычно сводится к экспериментальному определению активностей или коэффициентов активности и установлению функциональной зависимости их от известных факторов. Комплекс вопросов, связанных с трактовкой понятия «активность» и ее коэффициент уже обсуждался в наших работах [1–3]. В частности, используя экспериментальные данные по численным значениям коэффициента активности углерода, предоставленные Соколовым В.М., на основании полученных нами ранее результатов исследований [3,4] был сделан вывод о том, что коэффициент активности компонента в многокомпонентной системе должен зависеть от параметра, характеризующего общее состояние системы; состояние данного компонента в зависимости от его окружения (состояния электронного облака атомов данного компонента в системе конкретного состава), и параметра, характеризующего индивидуальность данного компонента.

Трактовка металлического расплава как химически единой системы [5] предоставляет возможность использовать интегральные физико–химические параметры межатомного взаимодействия в качестве функций состояния системы. Все параметры определялись в соответствии с теорией направленной химической связи. Использование параметров межатомного взаимодействия при трактовке химической связи как направленной

позволяет с единых физико–химических интерпретировать результаты ионообменных процессов между реагирующими фазами.

#### **Изложение основных материалов исследования.**

В настоящих исследованиях в качестве параметра, характеризующего структурное состояние металлического расплава был выбран параметр  $Z^Y$ . Для оценки состояния данного компонента в зависимости от окружения определен параметр  $\rho_1$ , характеризующий зарядовую плотность на поверхности ионизированного атома. Состояние компонента до его вступления во взаимодействие в системе отражает параметр  $Z_0^Y$  чистого компонента. Возможность описать состав многокомпонентной системы ограниченным числом интегральных и парциальных критериев, определяющих физико–химические свойства системы и отдельных ее компонентов, позволяет вплотную подойти к решению задач прогнозирования.

В качестве отправного базового массива экспериментальных данных выбраны данные трехкомпонентных железоуглеродистых расплавов, представленные В.М. Соколовым, наиболее приближенные по концентрационному диапазону к составу чугуна (табл.1).

Таблица 1 Данные о составе и активности углерода в металлическом расплаве

| №  | C    | Si   | Fe    | T    | lgfc |
|----|------|------|-------|------|------|
| 1  | 4,48 | 0,55 | 94,97 | 1623 | 0,09 |
| 2  | 4,24 | 1,59 | 94,17 | 1623 | 0,17 |
| 3  | 4,24 | 1,67 | 94,09 | 1623 | 0,17 |
| 4  | 4,14 | 1,55 | 94,31 | 1573 | 0,17 |
| 5  | 4,58 | 0,09 | 95,33 | 1563 | 0,02 |
| 6  | 4,54 | 1,42 | 94,04 | 1673 | 0,11 |
| 7  | 4,40 | 1,64 | 93,96 | 1673 | 0,15 |
| 8  | 5,06 | 0,21 | 94,73 | 1763 | 0,02 |
| 9  | 4,84 | 1,42 | 93,74 | 1773 | 0,09 |
| 10 | 4,58 | 1,87 | 93,55 | 1773 | 0,17 |
| 11 | 4,99 | 1,42 | 93,59 | 1873 | 0,12 |
| 12 | 5,10 | 0,48 | 94,42 | 1823 | 0,05 |
| 13 | 4,93 | 1,09 | 93,98 | 1823 | 0,11 |
| 14 | 4,89 | 1,55 | 93,56 | 1823 | 0,12 |
| 15 | 5,58 | 0,15 | 94,27 | 1963 | 0,02 |
| 16 | 5,12 | 1,88 | 93,00 | 1973 | 0,15 |

В результате получена следующая модель, описывающая логарифм коэффициента активности углерода ( $r = 0,94$ ):

$$\lg f_X = 0.944 \cdot a - 5.33 \quad (1)$$

где  $X$  – компонент системы, для которого определяется значение коэффициента активности, для данного случая – углерод,  $a = Z^Y \cdot \rho_{lX} + Z_0^Y$ .

Учитывая возможные погрешности при определении коэффициента активности компонентов металла, особое внимание было уделено проблеме проверки предложенной модели (1). Полученная модель (1) экзаменовалась на экспериментальных данных Куликова и Винцера [6–7], включающих в себя составы чугуна и численные значения коэффициентов активностей серы в чугуне, а также на данных Клитцера [8], включающих в себя составы чугуна и численные значения коэффициентов активностей кремния в чугуне. Результаты сопоставления расчетных и экспериментальных данных представлены на рис.1.

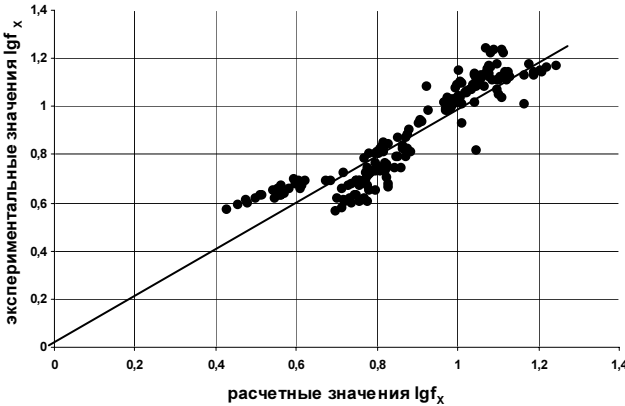


Рис.1 Соответствие расчетных и экспериментальных данных коэффициента активности.

Перенос модели (1) с трехкомпонентной системы на многокомпонентную имеет принципиальное значение, поскольку выражение (1) может быть рекомендовано как для вычисления коэффициента активности углерода, так и для вычисления коэффициента активности серы и кремния в чугуне.

В работе Куликова [7] для определения коэффициента активности серы в чугуне рекомендуется зависимость от содержания кремния:

$$\lg f_S = -\frac{1300}{T} + 1.473 + 0.047 \cdot [\%Si] + 0,0024 \cdot [\%Si]^2 \quad (2)$$

В табл.2 составы чугуна представлены с экспериментально определенными [7] и рассчитанными разными методами коэффициентами активности серы ( $\lg f_S$  – экспериментально определенная величина,  $\lg f_S(1)$  – величина, определенная по формуле (1),  $\lg f_S(2)$  – величина, определенная по формуле (2))

Таблица.2 Составы чугуна и коэффициенты активностей, рассчитанные по моделям (1) и (2)

| N  | Si   | Mn   | S     | P    | C    | T    | $Z^Y$  | $\rho_{IC}$ | $\lg f_s$ | $\lg f_s^{(1)}$ | $\lg f_s^{(2)}$ |
|----|------|------|-------|------|------|------|--------|-------------|-----------|-----------------|-----------------|
| 1  | 1,04 | 1,51 | 0,050 | 1,18 | 4,03 | 1405 | 1,4427 | 3,8107      | 0,6656    | 0,8577          | 1,9079          |
| 2  | 0,94 | 1,11 | 0,059 | 1,25 | 3,89 | 1405 | 1,4309 | 3,8004      | 0,6532    | 0,8095          | 1,8498          |
| 3  | 0,83 | 1,14 | 0,056 | 0,83 | 3,90 | 1405 | 1,4187 | 3,7998      | 0,6284    | 0,7712          | 1,6955          |
| 4  | 0,72 | 1,03 | 0,043 | 0,80 | 3,93 | 1400 | 1,4137 | 3,8022      | 0,6138    | 0,7626          | 1,6809          |
| 5  | 0,64 | 1,28 | 0,047 | 0,92 | 3,89 | 1400 | 1,4174 | 3,7954      | 0,5977    | 0,7661          | 1,6164          |
| 6  | 0,57 | 1,30 | 0,044 | 0,92 | 3,81 | 1400 | 1,4130 | 3,7871      | 0,5763    | 0,7432          | 1,5365          |
| 7  | 0,65 | 0,93 | 0,074 | 1,39 | 3,70 | 1430 | 1,4173 | 3,7810      | 0,6075    | 0,7249          | 1,6658          |
| 8  | 0,67 | 0,94 | 0,070 | 1,37 | 3,70 | 1425 | 1,4174 | 3,7812      | 0,6021    | 0,7297          | 1,6680          |
| 9  | 1,29 | 1,47 | 0,067 | 1,06 | 3,30 | 1400 | 1,4229 | 3,7473      | 0,5635    | 0,7276          | 1,5085          |
| 11 | 2,14 | 1,20 | 0,049 | 0,04 | 3,96 | 1450 | 1,4379 | 3,8202      | 0,7042    | 0,8177          | 2,0749          |
| 12 | 2,32 | 1,20 | 0,041 | 0,05 | 3,97 | 1450 | 1,4430 | 3,8232      | 0,7404    | 0,8368          | 2,1684          |
| 13 | 1,50 | 1,40 | 0,024 | 0,03 | 4,10 | 1400 | 1,4278 | 3,8237      | 0,6532    | 0,8311          | 1,8617          |
| 14 | 1,50 | 0,90 | 0,025 | 0,03 | 4,10 | 1400 | 1,4192 | 3,8282      | 0,6721    | 0,8096          | 1,9402          |
| 15 | 2,00 | 0,80 | 0,030 | 0,03 | 4,10 | 1400 | 1,4312 | 3,8346      | 0,7308    | 0,8540          | 2,1797          |
| 16 | 2,25 | 0,80 | 0,030 | 0,02 | 4,00 | 1420 | 1,4343 | 3,8286      | 0,7404    | 0,8406          | 2,2190          |
| 17 | 2,20 | 0,80 | 0,030 | 0,04 | 4,00 | 1420 | 1,4336 | 3,8281      | 0,7364    | 0,8378          | 2,2017          |
| 18 | 1,13 | 0,71 | 0,069 | 1,22 | 3,50 | 1310 | 1,4160 | 3,7704      | 0,6191    | 0,8060          | 1,7217          |
| 19 | 0,97 | 0,97 | 0,070 | 0,94 | 3,75 | 1375 | 1,4178 | 3,7892      | 0,6075    | 0,7805          | 1,7068          |
| 20 | 2,82 | 0,31 | 0,042 | 0,79 | 3,76 | 1485 | 1,4517 | 3,8177      | 0,8357    | 0,8289          | 2,6322          |
| 21 | 0,70 | 1,41 | 0,023 | 0,53 | 4,10 | 1420 | 1,4181 | 3,8142      | 0,6021    | 0,7736          | 1,6600          |
| 22 | 0,51 | 1,35 | 0,037 | 0,50 | 4,25 | 1420 | 1,4163 | 3,8255      | 0,6085    | 0,7811          | 1,6782          |
| 23 | 0,45 | 1,51 | 0,020 | 0,51 | 4,30 | 1435 | 1,4187 | 3,8279      | 0,6053    | 0,7793          | 1,6679          |
| 24 | 0,79 | 0,19 | 0,027 | 0,76 | 4,78 | 1437 | 1,4259 | 3,8838      | 0,7451    | 0,8644          | 2,4437          |
| 25 | 0,89 | 0,19 | 0,037 | 0,10 | 4,77 | 1485 | 1,4132 | 3,8852      | 0,7551    | 0,7871          | 2,2811          |
| 26 | 0,77 | 0,21 | 0,033 | 0,10 | 4,61 | 1478 | 1,4054 | 3,8705      | 0,7143    | 0,7515          | 2,1057          |
| 27 | 0,83 | 0,19 | 0,022 | 0,10 | 4,61 | 1473 | 1,4064 | 3,8714      | 0,7218    | 0,7597          | 2,1384          |
| 28 | 0,93 | 0,19 | 0,038 | 0,10 | 4,69 | 1481 | 1,4119 | 3,8789      | 0,7443    | 0,7793          | 2,2401          |
| 29 | 0,95 | 0,20 | 0,032 | 0,10 | 4,74 | 1484 | 1,4140 | 3,8832      | 0,7559    | 0,7884          | 2,2862          |
| 30 | 0,99 | 0,20 | 0,036 | 0,10 | 4,58 | 1472 | 1,4104 | 3,8703      | 0,7308    | 0,7718          | 2,1856          |

Сопоставительный анализ экспериментальных данных и величин, рассчитанных разными методами, отображен на рис.2. Полученные удовлетворительные результаты при переносе модели для трехкомпонентной системы на многомерную позволяют использовать ее при вычислении равновесного распределения элемента между чугуном и шлаком.

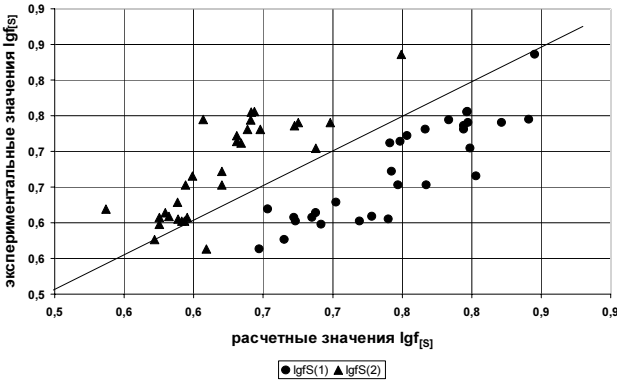


Рис.2 Соотношение между экспериментальными значениями коэффициента активности серы в чугуна и величинами, рассчитанных по формулам (1) и (2)

При проведении экзамена модели (1) для вычисления равновесного коэффициента активности серы в чугуна были вычислены коэффициенты активности серы для данных по химическому составу чугуна, доведенного до равновесного состояния [7]. Результаты такого экзамена удовлетворительны и представлены на рис.3.

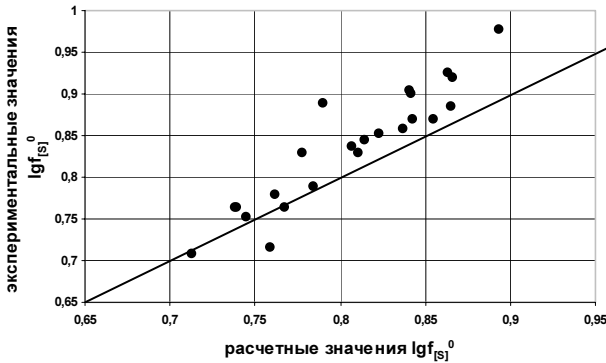


Рис.3 Соотношение между экспериментальными и расчетными значениями коэффициента активности серы в чугуна для равновесных данных

Для вычисления равновесного распределения серы между чугуном и шлаком нами были использованы экспериментальные данные Куликова [7], содержащие составы чугуна и шлака, а также определенные для них коэффициенты активности серы и равновесные коэффициенты распределения  $L_S^0$ . В ходе аналитической и статистической обработки представленных данных кроме логарифма коэффициента активности серы в чугуна для описания равновесного состояния привлекался параметр, характеризующий общее состояние шлакового расплава ( $\rho$ ) а также параметр, характеризующий изменение зарядовой плотности на поверхности ионизированного атома –  $\rho_1$ . В ре-

зультате, для вычисления логарифма коэффициента равновесного распределения серы между чугуном и шлаком была получена модель ( $r = 0,9$ ):

$$\lg L_S^0 = 2.63 \cdot a - 3.12 \quad (3)$$

где  $a = \lg f_{[S]} \cdot \rho + \rho_{l(S)} + \left( \frac{T_{\text{шл.}}}{1000} \right)$ .

По данным работы [7] коэффициент равновесного распределения серы между чугуном и шлаком предложено рассчитывать по формуле:

$$\lg L_S^0 = 2.55 \cdot B - 2.07 + \lg f_{[S]} \quad (4)$$

где  $B$ , являясь обобщенным показателем основности вычисляется следующим образом:

$$B = \frac{(CaO) + 0.5 \cdot (MgO) - 1.75 \cdot (S)}{(SiO_2) + 0.6 \cdot (Al_2O_3) \cdot [((CaO) + 0.5 \cdot (MgO)) / (SiO_2) - 1.19]}$$

Сопоставительный анализ расчетов по моделям (3) и (4) представлен на рис.4.

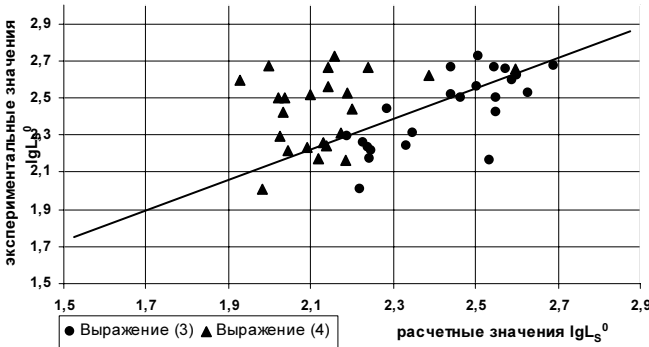


Рис.4 Сравнение рассчитанных по формулам (3) и (4) и экспериментальных значений коэффициентов равновесного распределения серы

Как видно из рис.4 расчет по предложенной нами формуле (3) дает более точное соответствие эксперименту чем предложенная в работе [7] формула (4).

Для вычисления коэффициента равновесного распределения серы между чугуном и шлаком в тех случаях, когда отсутствуют данные по температуре шлака нами предложена следующая модель:

$$\lg L_S^0 = 3.471 \cdot a + 0.264 \quad (5)$$

где  $a = \lg f_{[S]} \cdot \rho + \rho_{l(S)}$ . Данная модель описывает коэффициент  $L_S^0$  с коэффициентом корреляции  $r = 0.87$  (рис. 5).

Ранее нами уже обсуждался вопрос прогнозирования равновесного коэффициента распределения серы между чугуном и шлаком. В частности, в работе [9] была предложена следующая модель:

$$\lg L_S^0 = 9.033 \cdot Z^Y + 18.53 \cdot \rho - 0.096 \cdot \Delta e - 24.272 \quad (6)$$

где  $Z^Y$  – интегральный параметр, описывающий структурное состояние чугуна,  $\rho$ ,  $\Delta\epsilon$  – параметры шлака.

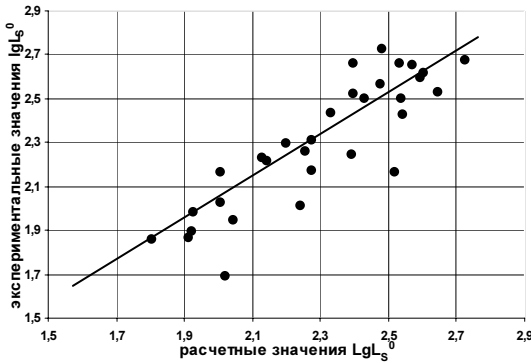


Рис.5 Соответствие расчетных по модели (5) и экспериментальных данных равновесного коэффициента распределения серы между чугуном и шлаком

Однако при практической реализации в системе контроля шлакового режима в условиях ДП№9 [10] возникали ситуации, когда отношение фактического распределения серы к равновесному было больше единицы. Данные для таких выпусков приведены в табл.3.

Таблица.3 Фактические данные по выпускам ДП№9

| №    | [Si] | [Mn] | [S]   | [C]  | [P]   | (SiO <sub>2</sub> ) | (Al <sub>2</sub> O <sub>3</sub> ) | (CaO) | (MnO) | (MgO) | (FeO) | (S) |
|------|------|------|-------|------|-------|---------------------|-----------------------------------|-------|-------|-------|-------|-----|
| 7241 | 1,00 | 0,46 | 0,018 | 4,25 | 0,073 | 38,3                | 7,3                               | 47,9  | 0,22  | 5,9   | 0,16  | 1,6 |
| 7244 | 0,94 | 0,42 | 0,020 | 4,28 | 0,067 | 38,7                | 7,2                               | 47,4  | 0,27  | 6,0   | 0,26  | 1,6 |
| 7252 | 0,80 | 0,42 | 0,024 | 4,29 | 0,066 | 40,3                | 6,5                               | 46,6  | 0,43  | 5,8   | 0,19  | 1,4 |
| 7265 | 0,96 | 0,45 | 0,019 | 4,29 | 0,067 | 38,5                | 7,0                               | 47,2  | 0,25  | 5,9   | 0,20  | 1,6 |
| 7188 | 0,79 | 0,43 | 0,019 | 4,25 | 0,066 | 38,4                | 7,4                               | 47,6  | 0,25  | 6,0   | 0,15  | 1,5 |
| 7196 | 0,87 | 0,42 | 0,020 | 4,24 | 0,065 | 39,2                | 7,4                               | 46,8  | 0,27  | 6,0   | 0,20  | 1,5 |
| 7199 | 0,86 | 0,44 | 0,022 | 4,23 | 0,065 | 40,0                | 6,7                               | 46,6  | 0,34  | 5,9   | 0,16  | 1,4 |
| 7200 | 0,94 | 0,42 | 0,021 | 4,25 | 0,066 | 39,9                | 7,0                               | 46,7  | 0,30  | 5,9   | 0,15  | 1,4 |
| 7201 | 0,87 | 0,43 | 0,024 | 4,23 | 0,066 | 40,2                | 6,8                               | 46,3  | 0,39  | 5,7   | 0,15  | 1,4 |
| 7205 | 0,81 | 0,42 | 0,021 | 4,27 | 0,063 | 39,2                | 6,9                               | 47,2  | 0,28  | 6,1   | 0,13  | 1,5 |
| 7300 | 0,70 | 0,37 | 0,026 | 4,18 | 0,061 | 40,8                | 6,4                               | 45,5  | 0,51  | 6,3   | 0,31  | 1,3 |

В табл.4 приведены величины равновесных коэффициентов распределения серы между чугуном и шлаком, рассчитанные по формулам (5) –  $L_S^0(5)$  и (6) –  $L_S^0(6)$ .

Таблица.4 Расчетные коэффициенты равновесного распределения серы для составов табл.3

| №    | $L_{S\phi}$ | $L_S^0(5)$ | $L_S^0(6)$ | $\frac{L_{S\phi}}{L_S^0(5)} \cdot 100$ | $\frac{L_{S\phi}}{L_S^0(6)} \cdot 100$ |
|------|-------------|------------|------------|--|--|
| 7241 | 88,89       | 96,15      | 117,87     | 92,45                                  | 102,46                                 |
| 7244 | 80,00       | 89,26      | 114,23     | 89,63                                  | 101,17                                 |
| 7252 | 58,33       | 64,84      | 100,82     | 89,97                                  | 103,39                                 |
| 7265 | 84,21       | 98,02      | 119,08     | 85,91                                  | 104,17                                 |
| 7188 | 78,95       | 98,46      | 100,11     | 80,18                                  | 107,48                                 |
| 7196 | 75,00       | 94,78      | 100,80     | 79,13                                  | 114,87                                 |
| 7199 | 63,64       | 98,22      | 98,22      | 64,79                                  | 108,67                                 |
| 7200 | 66,67       | 97,52      | 105,94     | 68,36                                  | 107,06                                 |
| 7201 | 58,33       | 97,37      | 97,37      | 59,91                                  | 107,11                                 |
| 7205 | 71,43       | 96,32      | 102,46     | 74,16                                  | 105,06                                 |
| 7300 | 50,00       | 79,06      | 79,06      | 63,24                                  | 110,46                                 |

Иллюстрация данных таблицы 4 приведена на рис.6.

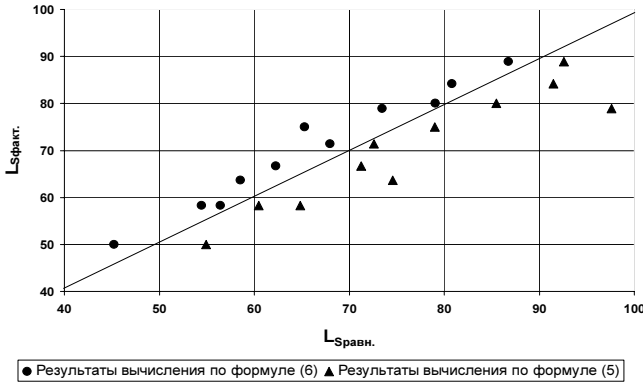


Рис.6 Соответствие равновесного и фактического распределения серы

### Выводы.

Таким образом, впервые получены удовлетворительные результаты при переносе моделей для прогнозирования термодинамических свойств элементов с трехкомпонентных систем на многокомпонентные. В результате получено подтверждение об инвариантности относительно компонентности расплавов моделей на основе параметров межатомного взаимодействия. Предложенные модели для вычисления коэффициентов активностей компонент чугуна и коэффициента равновесного распределения

серы доведены до практической реализации в системе АСУ доменной плавки для условий ДП№9 комбината «Криворожсталь».

1. *Приходько Э.В., Петров А.Ф.* Физико–химические критерии для оценки степени микронеоднородности металлических расплавов // *Металлофизика и новейшие технологии.* – 1998. –Т.20, – С.64–74.
2. *Приходько Э.В., Тогобицкая Д.Н.* Физико–химическое моделирование процессов межатомного взаимодействия в металлургических расплавах // *Вестник ПГТУ* – 1999. – Вып.7. –С.72–83.
3. *Тогобицкая Д.Н., Гринько А.Ю.* Разработка методики прогнозирования парциальных термодинамических свойств металлических расплавов на основе численного дифференцирования параметров зарядового состояния // *Фундаментальные и прикладные проблемы черной металлургии.* – 2002. –№5. –С.223–229.
4. *Гринько А.Ю.* Определение численного значения активности углерода в системе «железо–углерод–легирующий компонент» // *Фундаментальные и прикладные проблемы черной металлургии.* – 2004.–№7.–С.331–336
5. *Приходько Э.В.* Эффективность комплексного легирования сталей и сплавов. К.: Наукова думка, 1995. – 292с.
6. *Г. фон Энде, Винцер Г.К.* вопросу десульфурации чугуна // *Черные металлы.* – 1966. – №13. – С.19–26.
7. *Куликов И.С.* Десульфурация чугуна. М.: Государственное научно–техническое издательство литературы по черной и цветной металлургии, 1962.– 306 с.
8. *А. фон Клитцер* Поведение кремния в доменных печах // *Черные металлы.* – 1996. – №16. – С.65–75.
9. *Тогобицкая Д.Н.* Моделирование процессов межфазного распределения элементов в системе металл–шлак при выплавке чугуна и стали // *Металлургическая и горнорудная промышленность.* – 1999. – №1. –С.8–10.
10. *Тогобицкая Д.Н., Оторвин П.И., Белькова А.И., Гринько А.Ю.* Автоматизированная система контроля и управления шлаковым режимом доменной плавки // *Металлург.*–2004. –№4.–С.43–46

*Статья рекомендована к печати д.т.н., проф. Э.В.Приходько*